

OSSIR

CR BlackHat 20/Defcon

Las Vegas – 22 au 30 Juillet 2017

Charles-Edmond Bihr
<Charles-Edmond.Bihr@hsc.fr>

Olivier Houssenbay
<Olivier.Houssenbay@hsc.fr>

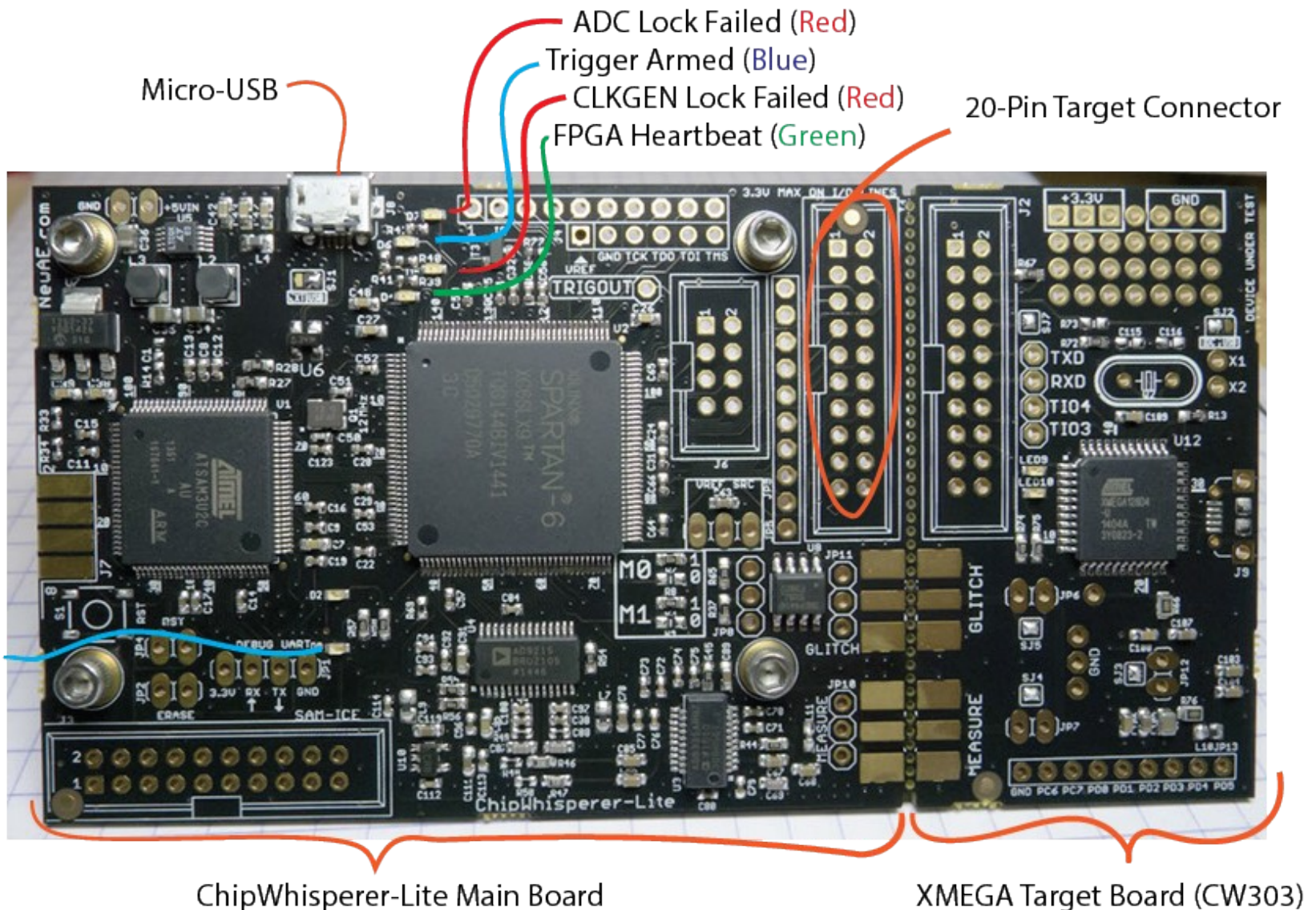
- Deux parties
 - 22 au 25 juillet
 - Trainings
 - 26 au 27 juillet
 - Briefings
- 18 tracks ou “thèmes”:
 - Cryptography, Enterprise, Exploit development, Hardware/Embedded, IoT, Mobile, Reverse engineering, Web AppSec, etc.
- Mandalay Bay

- Conférences
 - 27 au 30 juillet
- Premier jour (Dernier jour de Blackhat)
 - Deux tracks
- Deuxième et troisième jours
 - Quatre tracks
- Caesars Palace
- CTF, Workshops, Demo labs and Villages (Biohacking, Car hacking, Crypto and privacy, Hardware hacking, ICS, IoT, Lockpick, etc.)

Par Colin O'Flynn, NewAE Technology

- Prise en de main de ChipWhisperer-Lite
 - plateforme matérielle open source
- Analyse de consommation électrique par canaux auxiliaires
 - captures de plusieurs traces
 - extraction de clef AES 128
- Glitching, Injection de faute
 - modification d'horloge

Formation - ADVANCED HARDWARE HACKING: HANDS-ON POWER ANALYSIS & GLITCHING WITH THE CHIPWHISPERER



ChipWhisperer-Lite Main Board

XMEGA Target Board (CW303)

(Par Saumil Shah, 2 jours)

- Exploitation de vulnérabilités sur architecture ARM
- Extraction du firmware d'un routeur dans une VM ARM
- Lancement des services minimaux requis et du serveur HTTP
- Exploitation d'une faille sur le serveur HTTP: ROP, ASLR, Shell.

(Par Flare team of Mandiant, a Fireeye company)

- Introduction à l'assembleur
- Principalement l'utilisation d'une VM et d'outils comme Ollydbg, IDA pro.
- Où regarder quand on analyse un malware
- Un peu court...

(Par Sen Nie, Ling Liu, Yuefeng Du de Keen Security Lab of Tencent)

- **Compromission complète:**

- **Wifi**

- Connexion automatique en wifi au SSID “Tesla Guest” avec psk “abcd123456”
- QtCarBrowser, le navigateur intégré recharge sa page courante automatiquement
- Vieille version de WebKit utilisée → Vulnérabilité dans la fonction `JSArray::sort()`
- CVE-2011-3928: Use-after-free vulnerability in Google Chrome before 16.0.912.77
- Écriture/Lecture d’adresses arbitraires
- Exécution de code arbitaire

- Élévation de privilèges
 - Utilisateur sans privilèges, protégé par AppArmor, règles Iptables interdisant l'accès aux services locaux.
 - Un vieux kernel Linux est utilisé (2.6.36.3)
 - CVE-2013-6282 (put_user/get_user)
“allows attackers to read or modify the contents of arbitrary kernel memory locations”
 - Exécution de code arbitraire: Remplacement d'un appel système dans la table des appels systèmes
- Échappement de Apparmor
 - Appel de la fonction `reset_security_ops()`
- Obtention des droits roots non restreints: Patch de `setresuid()`
- Compromission du bus CAN

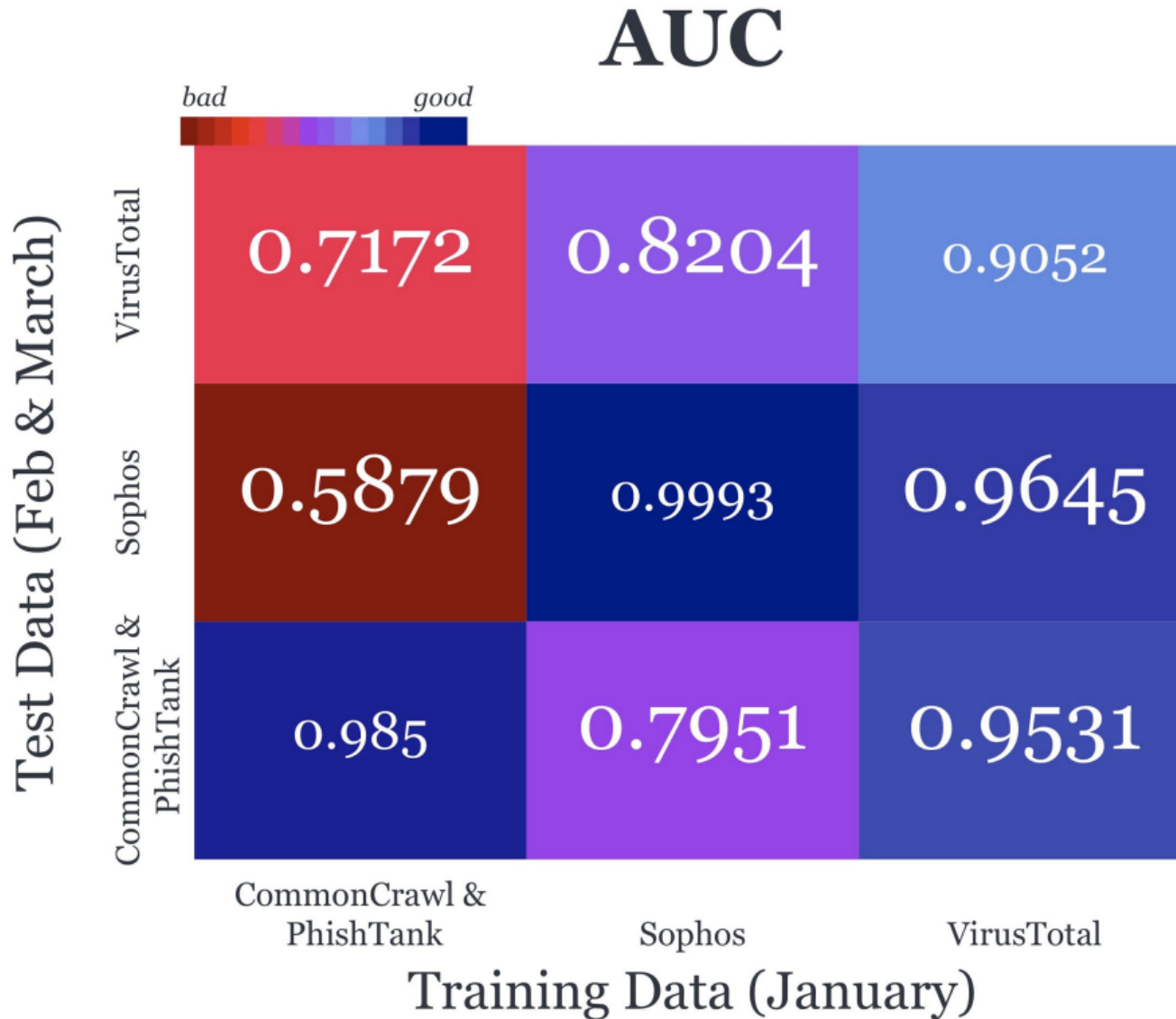
(Par Wang Zhengbo, Wang Kang et Pan, Aimin de Alibaba Security, Yang Bo de CAICT et Li Shangyuan de Tsinghua University)

- Attaque sur les MEMS (gyroscopes, accéléromètre)
- Ces types de capteurs ont des parties mobiles
- Des ultrasons sont utilisés pour entrer en résonance avec ces parties mobiles
- Cibles:
 - Téléphones, drones, robots, hoverboards
 - Tout ce qui contient un MEMS.
- Démonos:
 - Téléphone: <https://www.youtube.com/watch?v=McNM29Zk1O8>
 - Self Balancing robot: <https://www.youtube.com/watch?v=tO5OxbbA1hU>

- Paraît peu applicable dans la vie réelle pour l'instant:
 - Distance entre capteur et "pistolet"
 - Poids et volume du matériel nécessaire

(Par Hillary Sanders)

- Test de trois modèles d'apprentissage automatique permettant de noter des URLs:
 - Sophos
 - VirusTotal
 - CommonCrawl & Fishtank
- Objectifs de ces modèles:
 - $f(\text{http://www.trustus.evil.ru/paypal/login/}) = .944780$
 - $f(\text{https://www.facebook.com/}) = .019367$
- Ces modèles sont en premier lieu entraînés. Chaque moteur a été entraîné avec les données d'entraînement des autres.
- Leur efficacité a ensuite été testée avec des données de test.



- Conclusion:
 - La précision d'un modèle est **extrêmement** dépendante des données utilisées pour l'entraînement et le test

(Par Hyrum Anderson)

- Modèle d'intelligence artificielle
 - Pour obfusquer des programmes malveillants
 - Afin de contourner des modèles d'apprentissage automatique de détection de malware en "blackbox" (pas d'accès au modèle).
- Le compare à une IA jouant seule au jeu "Atari breakout":



- Atari breakout:
 - Entrée : Environnement (screenshot du jeu à un instant donné)
 - Sortie : Un mouvement, déplacer la barre à gauche/droite
 - Feedback : Le score (points quand on casse une brique)
- Anti-malware evasion IA:
 - Entrée : Environnement (Octets du malware)
 - Sortie : Une transformation sur le binaire (nouveau point d'entrée, nouvelle section, imports aléatoires, upx pack/unpack, etc.)
 - Feedback : Le score retourné par VirusTotal

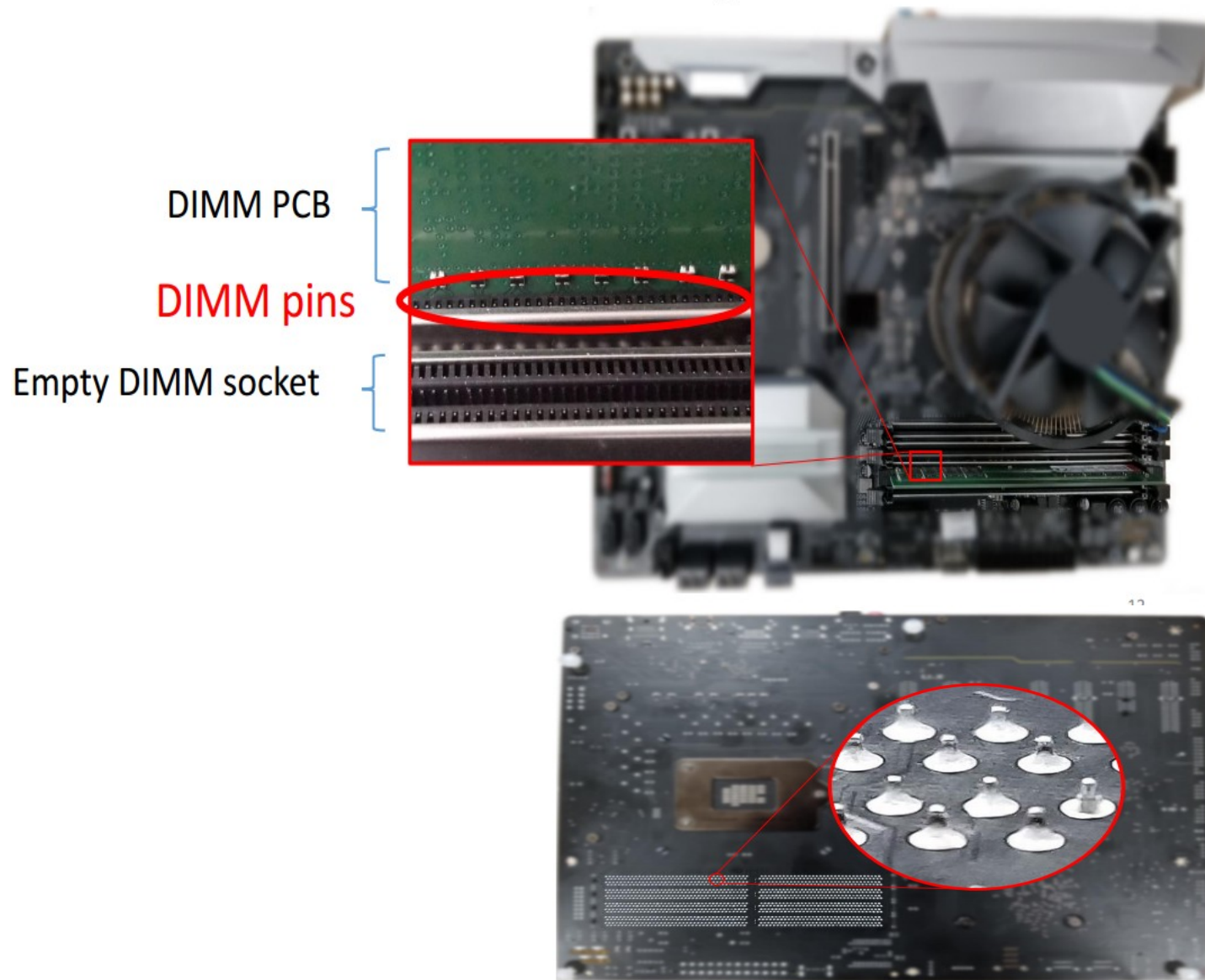
- Entraînement:
 - 15h pour 100k itérations (10k malwares avec 10 tours chacun)
 - Utilisation d'échantillons de VirusShare
- Résultats:
 - Le modèle est appliqué à 62 malwares dont 35 sont initialement détectés
 - Une fois modifiés, seuls 25 malwares sont détectés
- Recommandations:
 - Attaquer son propre modèle
 - Limiter l'exposition du score

(Par Nitay Artenstein de Exodus Intelligence)

- REMOTE EXPLOIT != BROWSER EXPLOIT
- Attaque du chipset Wifi broadcom:
 - Peu ou pas de protections (Pas de DEP, ASLR, etc.)
 - Mémoire RWX
 - (Contrairement au baseband chipset) chipset wifi (broadcom) est utilisé pour énormément de téléphones
- Code source trouvé sur github (github.com/elenril/VMG1312-B)

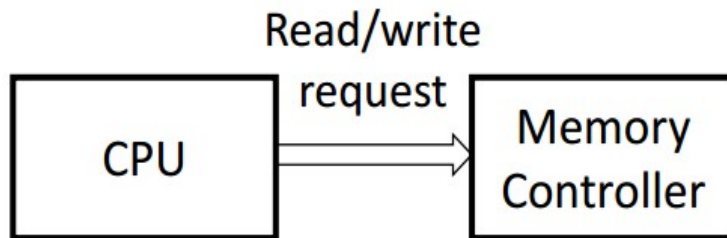
- Wireless Media Extension (WME)
 - Extension QoS de 802.11
 - L'information est parsée dans les paquets "probe requests", "probe response", et "association response" → pas besoin d'être associé
- Overflow de seulement 24 octets → Egghunter
- Puis envoie du shellcode complet dans des paquets "beacon probes" (rappel: les paquets sont RWX)
- Prochaine étape → un ver
 - Wifi! : un téléphone infecté en infecte un autre automatiquement
- Pas d'exécution de code privilégiée (mais Project Zero a déjà montré la possibilité d'écrire dans la mémoire kernel en utilisant PCIe)

- Par Anna Trikalinou & Dan Lake (Intel)
- Attaque physique sur la DRAM (Dynamic Random Access Memory)
 - Objectifs
 - Extraire les secrets (clefs de chiffrement du disque dur)
 - Contourner les politiques de sécurité (modification de *page tables*)
- Attaque DMA indétectable
 - Exploite le design des DIMMs
 - Nécessite un accès physique

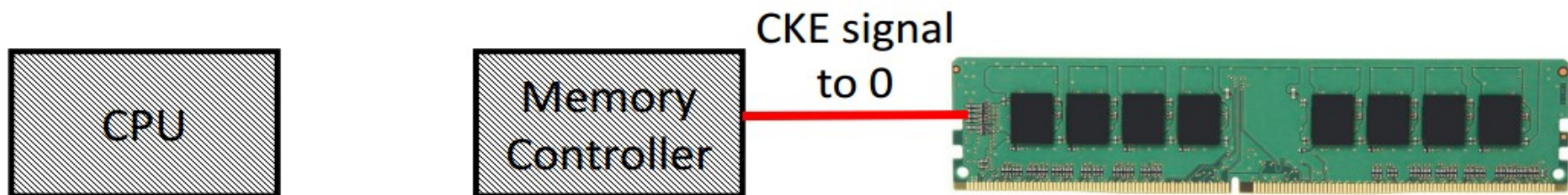


- 288 pins de chaque DIMMs exposées
 - Demande de R/W
- Étude des normes JEDEC (Joint Electron Device Engineering Council)
 - Application universelle, protocole Hardware
 - Définit les pré-requis des modules mémoires et architectures
- Contrôleur de mémoire
 - Intermédiaire entre le CPU et la DIMM
 - Agnostique
 - Opérations
 - Calibration, configuration des registres, ordonancement, rafraichissement

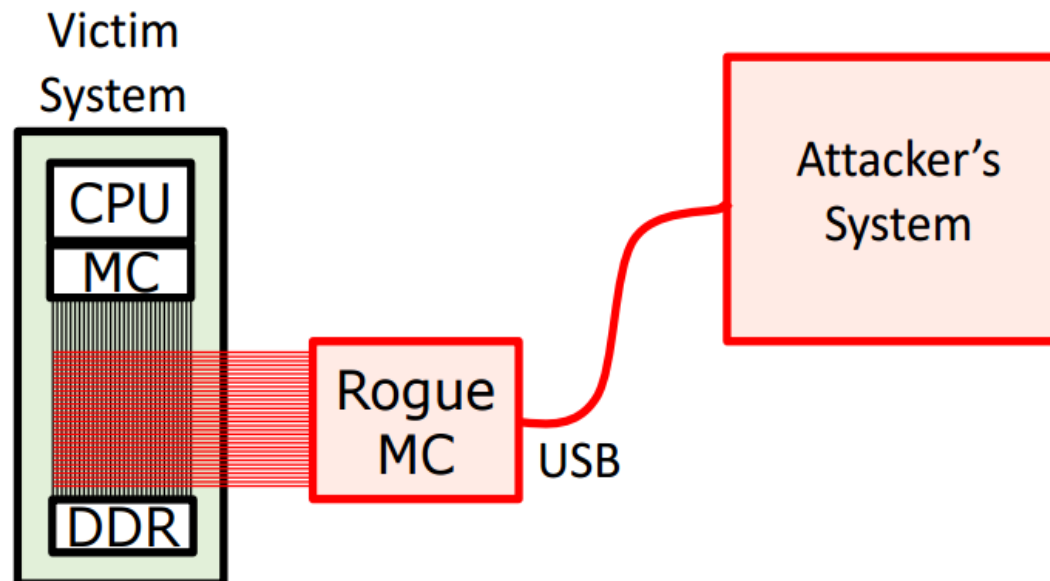
- Fonctionnement de la DRAM
 - État normal
 - CKE (clock enable) '1'



- En veille (sleep)
 - CKE '0'
 - CPU et contrôleur de mémoire éteints
 - DIMM en gestion autonome



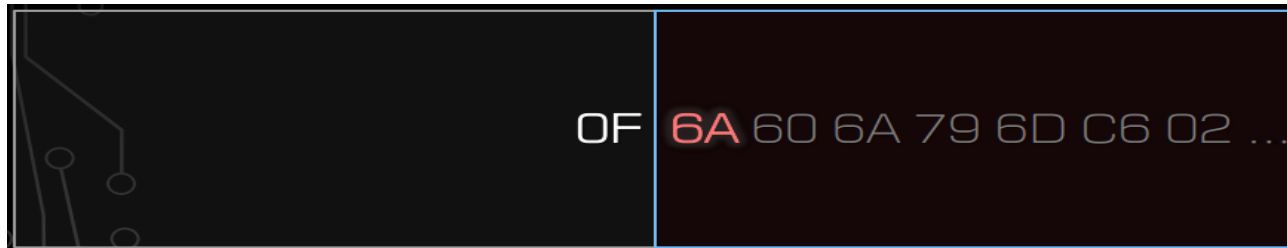
- Limitations
 - Calibration et fréquence d'horloge géré par le contrôleur de mémoire
 - Pas d'authentification entre le contrôleur et la DIMM
 - Aucune protection contre l'usurpation de contrôleur de mémoire
- Conception d'un contrôleur de mémoire malveillant (rogue)



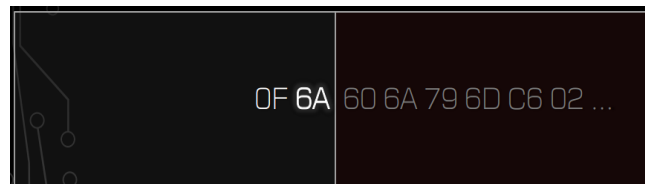
- PoC sur un fil
- Perspectives
 - Passer sur le bus entier
 - Réduire le bruit ajouté par les connecteurs
- Contre-mesures
 - Court terme : mise en veille prolongée (hibernation)
 - Long terme : Modifier le design des cartes mères, ajout d'un mécanisme d'authentification dans JEDEC

- Par Christopher Domas @xoreaxeaxeax (Batelle Memorial Institute)
- Outil de scan des instructions x86
 - Sandsifter : <https://github.com/xoreaxeaxeax/sandsifter>
- Objectifs
 - Auditer le processeur
 - Trouver les instructions cachées
- Approche
 - Recherche d'instructions par « tunneling »
 - réduction de l'espace de recherche ~100 000 instructions contre 1.3×10^{36}
 - Taille des instructions (en x86 longueur variable)
 - Analyse des pages fault

- Recherche d'instructions
 - Deux pages mémoire consécutives
 - RWX et RW



- On saute à l'instruction à décoder
 - Vérification par le décodeur d'instruction
- Nécessite un octet supplémentaire ?
 - Exception PF (page fault)
 - Adresse de « faute » dans le registre CR2 = adresse seconde page
- Ajout d'un octet



- Instruction décodée
 - Exécution possible
 - Levée d'exception différente
 - Page fault avec une adresse différente dans CR2
 - Taille de l'instruction déterminée
- L'instruction existe ?
 - Non
 - UD exception => *invalid opcode exception*
 - Oui
 - Pas d'exception

- Spécificité
 - Exécution depuis le « ring 3 »
- Composants
 - Injector
 - analyse de pages fault et génération des instructions (tunneling)
 - Sifter
 - analyse les résultats de l' « injector »
 - utilise capstone pour vérifier l'existence des instructions
 - Summarizer
 - regroupe les instructions identifiées par famille

- Démo

```

4 r      shl ebx, 0x6b                c1e36b540033859ca18b2158b8ac93f3 0
      (unk)                        9a8c42843b3e09ee955b8d47d3669fd7 0
      and edx, esi                  23d6c9de7736d4e05487c87b901e38ee :
      imul edx, dword ptr [rbx], 0x58112d43 6913432d1158e0d5caa58f154f85d650 0
s      movabs dword ptr [0x82d917b0fbb1eb5b], eax a35bebb1fbb017d982b12eb7c7f5d833 1
a      push rsp                      54be5dbd4c5560fefbbbc26fad2ebcf32 :
n      (unk)                          1ecf2d0ec243bac1cb16d3116caf847b 1
d      or eax, 0x13753778            0d783775132a0249a46ab9f0182f2d2e 1
      ftst                           d9e47e167779df867a13a56b342ebf10 .
v: 1    jbe 0xfffffffffffffb9       76b7b83510eeef886efd644375bf4daf 4
l: 2    jle 0xfffffffffffffdb       7ed998f203cddbdeedb2b165df18fc05f 3
s: 5    and esi, esp                 21e6f610380470d0d183b9db8855dfb3
c: 2    and byte ptr [rax], al       20009eae60ce7f8448f3857ecb9301d0
      push -0x33da2f5b              68a5d025cc8fe073716ae07966c82896
s      in eax, dx                    ed631809325030733742dfa080c6a50
i      mov esi, 0xe44908d6          bed60849e4abbe0392a277481434afa7
f      pop rsp                       26445cfba6a6fad744f67f6d94c9aae7
t      mov eax, dword ptr [rdi + rax*4 - 0x2f5561f1] 8b84870f9eaad06fd081b5c4470bb590
e      (unk)                          d94ae5791c35580523b6f8c694870240
r      and dword ptr [rax], edx      21124b12f1f59d65adff800c0e8162c3

# 2,259,724
# 39800/s
# 112

dbe11023eeb94b7a436193c6c73b60be
dbe06ea350976600eb93210563a5f39b
0f1bd311bb6376398c8cc1ab20ccdafd
dfc0a1de21248565a6838e8f5ce435f4
dfc37eff85e9ca82c485c523ba4b201e
dbe1f2552633814af7441c7cfcff0dce
dfc0abd37538a7f3035f10e704311891
0f1ae471537e81fea974e61c20ae0c91
0f0d97a9c3f2542c1047a092b1fdb66f
dfc207323fcb7c7e8b88320fc2587b18

```

(sandsifter)

- Démo

```
VIA Nano U3500@1000MHz
arch: 32 / processor: 0 / vendor: CentaurHauls / family: 6 / model: n/a / stepping: 8 / ucode: n/a

> .....
> 0f.....
> 0f0d..
> 0f18..
> 0f1a..
> 0f1b..
> 0f1c..
> 0f1d..
> 0fle..
> 0f1f..
> 0fa7..
    0fa7c1
    0fa7c2
    0fa7c3
    0fa7c4
    0fa7c5
    0fa7c6
    0fa7c7
> 0fae..
> c4....
> c5....
> db..
    dbe0
    dbel
> df..
    dfc0
    dfc1
    dfc2

instruction:
0fa7c2

prefixes:      ( )
valids:        (1)
lengths:       (3)
signums:       (5)
signals:       (sigtrap)
sicodes:       (2)

analysis:
capstone:
(unk)
n/a

ndisasm:
(unknown)
n/a

objdump:
(unknown)
n/a

j: down,      J: DOWN
k: up,        K: UP
l: expand     L: all
h: collapse  H: all
g: start     G: end
{: previous  }: next
q: quit and print
```

(summarizer)

- Résultats
 - Instructions cachées
 - Bogues logiciels
 - Défauts dans les hyperviseurs
 - Bogues matériels
- Killer poke ou Halt and catch fire
 - Instruction malformée depuis le « ring 3 »
 - Testé depuis 2 noyaux Windows et 3 noyaux Linux
 - Aucune information sur le model, la marque ou l'instruction exécutée
 - à ce jour
 - Première attaque du même type il y a 20 ans : Pentium f00f

- Craig Dods (Juniper)
- Exfiltration de données avec PowerShell et Office365
- PoC en 4 phases
 - SE : utilisation de macros Word/Excel
 - Récupération du token SAML
 - persistance pour la connexion vers Office365
 - Ajout du domaine malfaisant dans les trusted sites et montage d'un partage invisible
 - Contournement des restrictions PowerShell et exfiltration des données

- Avantages de Office365 pour l'attaquant
 - Autorisation de communication chiffrées vers Office 365
 - Liaison réseau performante (10Gbps)
 - Volume de données et confiance importante
 - pas de revue du trafic
 - Solutions DLP considère un partage réseau comme ressource locale
 - Cmdlet New-PSDrive
 - Invisible pour l'explorateur de fichier
 - Détection plus difficile

- Contre-mesures
 - Déchiffrer les communications SSL/TLS
 - Base de signatures qui n'autorise que le/les domaines O365 connus
 - Activer la journalisation sur les terminaux et envoyer vers un SIEM
 - Surveiller les instances New-PSDrive
 - Utiliser un pare-feu pour mesurer la quantité de données envoyées et un SIEM pour détecter les upload vers l'extérieur